

Рис. 3.9. Диаграммы токов и напряжений управляемого выпрямителя класса 2Р УВ в первом дозернистом (а) и первом гранулитном (б) режимах при $t=6$ и $k=1$ и во втором дозернистом (в) режиме при $t=12$, $k=2$.

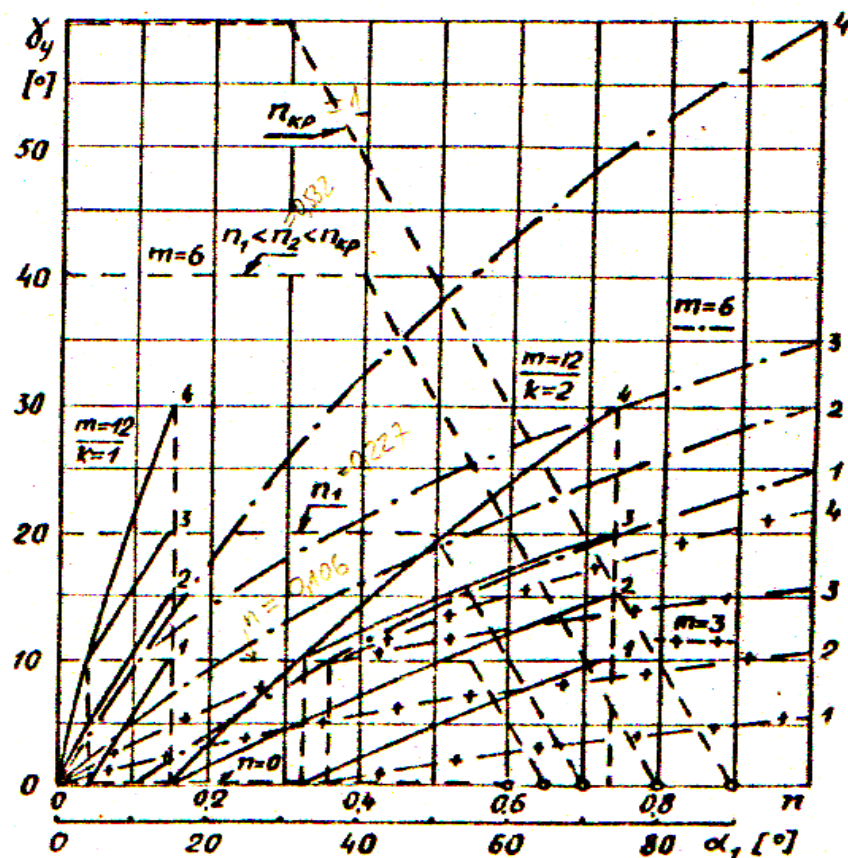


Рис. 3.10. Зависимости угла коммутации управляемых *m*-фазных выпрямителей от π (нагрузочные характеристики) при разных $m=3, 6, 12$ и $d=+5^\circ, 0^\circ, -5^\circ, -\theta^\circ$ – соответственно кривые 1, 2, 3, 4 – и от угла управления α , (регулировочные характеристики) при разных π и $m=6$.

ления исчезает подинтервал одновременной работы V^- внутренних ветвей, что соответствует второму граничному углу управления $\alpha_{1r}(k_2)$ и имеет место при $k \geq 2$. Так что при соотношениях параметров схемных элементов, соответствующих k -му коммутационному состоянию неуправляемого выпрямителя в управляемом возможно $m = 1, 2, \dots, k$ граничных режимов ($\alpha_{1r}(k_m)$), при переходе через которые прежние результаты анализа теряют смысл, исходные уравнения и их решения будут иными, как и энергетические показатели устройства.

Начиная с некоторого значения угла управления α_{1k} , названного в [158] конечным, выпрямленный ток становится прерывистым, схема переходит в режим $P < 3$. В соответствии с принятым выше положением это определяет нулевую критичность состояния m -фазной схемы. Поскольку нагрузка ~~активная~~^{безреактивная}, то конечный или критический угол, очевидно, равен

$$\alpha_{1k} = 2\psi_0 = \pi - 2\theta . \quad (3.77)$$

Воспользовавшись связью (2.66), выражения (3.73) + (3.77) легко переводятся в соответствующие значения угла α . При значениях $\alpha_{1H(k)} \leq \alpha_1 \leq \psi_0$ угол $\alpha < 0$. Таким образом, для общепринятого отсчета угла управления регулирование возможно как при положительных, так и при отрицательных его значениях, что расширяет пределы регулирования. Величина отрицательного угла лежит в пределах $0 \leq |\alpha| \leq k\theta + \psi_k$.

Изложенное иллюстрируют рис. 3.9+3.11. Расчетные величины получают на основе и аналогично результатам неуправляемых выпрямителей. В частности, для среднего значения тока (напряжения) имеем при $\epsilon = 0$, $k = 1$ [158]

$$I_{(R)} = U_o = \begin{cases} \frac{\sin \theta \operatorname{Sc} \gamma}{\theta(1+n)} & \leftarrow 0 \leq \alpha_1 \leq \alpha_{1H(k)} , \\ \frac{1}{\theta} \left[\frac{2 \cos \theta}{2+n} \sin \gamma + \frac{\sin(\theta+\gamma)}{1+n} \right] \sin(\theta+\alpha_1+\gamma) & \leftarrow \alpha_{1H(k)} \leq \alpha_1 \leq \alpha_{1r} , \\ \frac{\sin \theta}{\theta(1+n)} \sin(\theta+\alpha_1) & \leftarrow \alpha_{1r} \leq \alpha_1 \leq \alpha_{1k} , \\ \frac{1 + \cos \alpha_1}{2(1+n)\theta} & \leftarrow \alpha_{1k} \leq \alpha_1 \leq \pi . \end{cases} \quad (3.78)$$

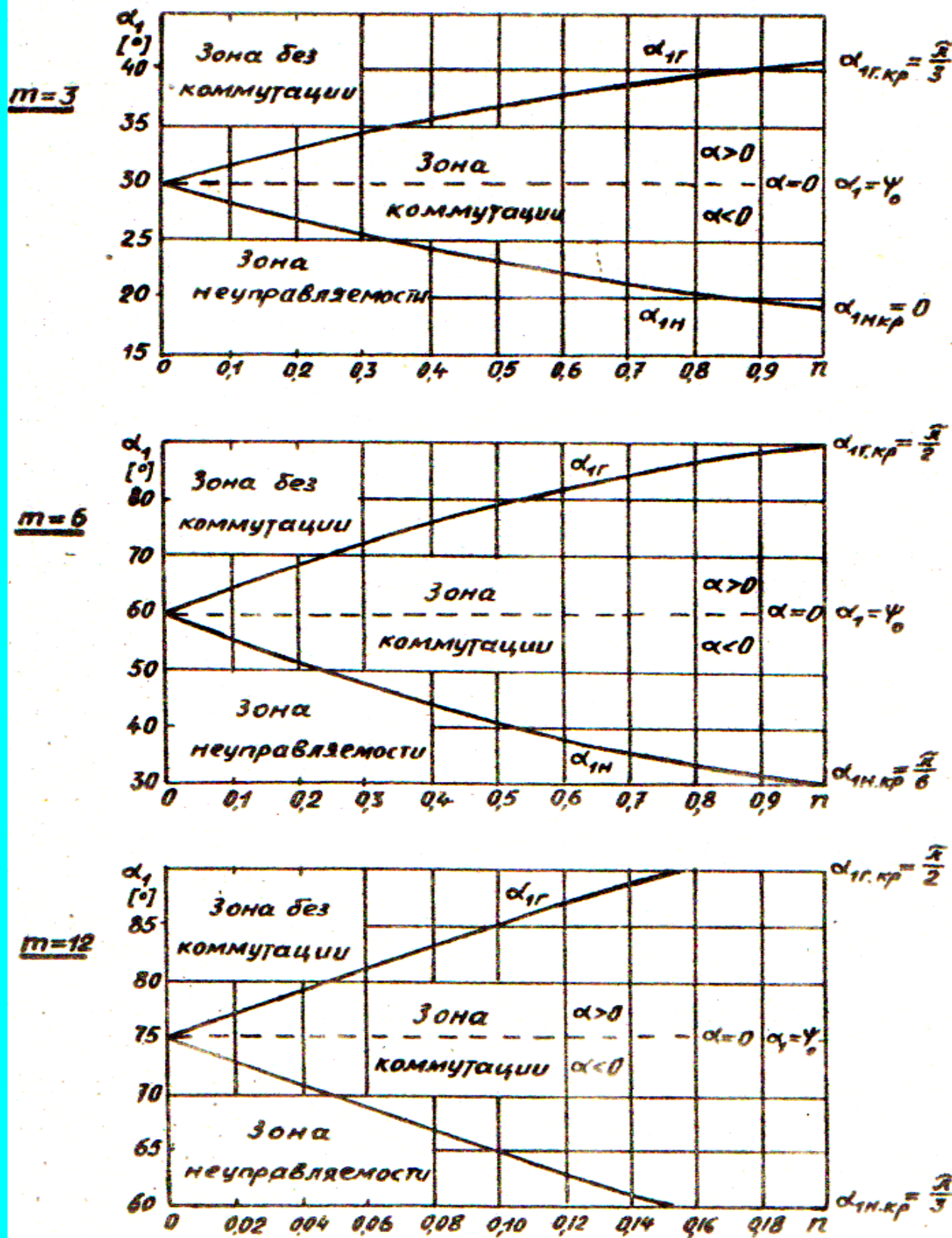


Рис. 3.11. Зоны работы управляемых трехфазных схем класса $\alpha = 2R$ УВ.